

碎波帯内の海浜変形

中央大学 理工学部 正員 川又良一
中央大学 理工学部 正員 服部昌太郎

1. まえがき

活発な底質移動が存在する碎波帯内の2次元地形の変化は、冲浜帶のそとに較べて顕著であるばかりでなく、汀線の前進・後退に直接結びつくなど、その地形変化の推定は、海岸工学上重要である。本研究は、碎波点より岸側での海浜の変形に対して、そこでの底質の浮遊機構を考察し、新しいパラメータを導き、実験及び現地の資料の整理を試みたものである。

2. 碎波帯内の底質移動に関する考察

碎波帯内での底質移動に関しては、種々の論議がなされているものの、その機構についてはいまだ十分には解明されていないと考えられる。それは、碎波後の波の運動と、その中の底質の運動とが非常に複雑であるためであろう。そこで、碎波時に巻き上げられた底質粒子が、浮遊状態で移動するための条件を、底質粒子と、流体のなす単位時間当りの仕事量より考察した。

水中を落下する底質粒子の海底面に直角方向になす単位時間当りの仕事量 P_s は、

$$P_s = W \cdot w_s \cos \beta \quad \dots \dots \dots (1)$$

ここに W : 底質粒子の水中重量

w_s : 底質粒子の沈降速度

β : 海底面の傾斜角

一方、底質粒子を浮遊させるために、流体のなす単位時間当りの仕事量 P_f は、流体粒子の水平速度の海底面に直角方向の成分に比例すると仮定すると、

$$P_f = a \cdot W \cdot \bar{U} \sin \beta \quad \dots \dots \dots (2)$$

ここに \bar{U} : 水粒子の平均水平速度

a : 比例定数

したがって、底質粒子の浮遊限界は式(3)で与えられる。

$$a \cdot \bar{U} \tan \beta = w_s \quad \dots \dots \dots (3)$$

ここで、碎波帯内の流体運動を、線形長波によって近似すれば、流体粒子の水平方向の平均速度 \bar{U} は式(4)で与えられる。

$$\bar{U} \propto (H/L) g T \quad \dots \dots \dots (4)$$

したがって、式(3)は次のように書き直せる。

$$C(H/L) \tan \beta = w_s / g T \quad \dots \dots \dots (5)$$

C : 定数

g : 重力加速度

以上の結果、碎波帯内での浮遊底質粒子の移動は、

$$C(H/L) \tan \beta < w_s / g T \quad \dots \text{沈降}$$

$$C(H/L) \tan \beta > w_s / g T \quad \dots \text{浮遊}$$

と表わされる。

3. 模型実験結果の整理

2次元海浜の形状を、汀線の前進したものと堆積型、後退したものを侵食型とする堤川、砂村の分類に従って、式(5)の関係を用いて、模型実験結果の整理を行う。しかし、式(5)のままで、浪浪特性の測定結果も少なく、また実際の海岸への適用にあたっても困難が生ずるため、式(6)のように沖波の波浪特性を用いて表わすこととする。

$$C(H_0/L_0) \tan \beta = w_s / g T \quad \dots \dots \dots (6)$$

また碎波帯内の海底勾配は、碎波水深 h_b と、碎波点より汀線までの距離 X_b とにより式(7)のように近似する。

$$\tan \beta = h_b / X_b \quad \dots \dots \dots (7)$$

式(7)より、任意の海底形状の断面であっても碎波点が求めれば $\tan \beta$ を決定できる。

図-1は、従来の実験結果に著者らのアンバーライトの実験結果を加え、式(6)で整理したものである。底質の沈降速度 w_s は、実測値の不明なものは、底質が砂のものについては平均あるいは中央粒径を用いて Shore Protection Manual (1975) より求めた。又、Amberlite等、輕量な底質は、レイノルズ数による抗力係数の補正を行ったストークスの法則より求めた。

図中実線は式(6)での堆積型、侵食型海浜の限界を与えるもので $C=2$ の場合の直線である。

したがって、以下の実験を得ることができる。

$$\frac{u_b}{gT} > 2$$

$$(\bar{H}_o/L_o) \tan\beta <$$

堆積型
侵食型

以上の結果より、波浪及び底質特性が一定の場合には、式(6)より、汀線の前進・後退が、碎波帯内勾配 $\tan\beta$ の変化によるものであることがわかる。

なお、図中土屋らの風波による実験については、波高が Rayleigh 分布するとして、 $\bar{H} = 0.625 H_{1/3}$ の関係を用いて平均波高 \bar{H} により整理したものである。

4. 現地資料の整理

現地資料の整理に当たり問題となるのは、海浜地形の3次元性と波浪条件である。ここでは一応2次元的に現地海浜をどの程度とらえられるかを見ることとし、3次元性を無視した。波浪条件としては、図-1の風浪による実験結果が、平均波高を用いることで良い結果を得たことより、すべて海浜断面の測量実施間隔ごとの平均波高を用いることとした。

碎波帯内勾配 $\tan\beta$ の不明な資料については、碎波指標（合田）を用いて碎波水深を推定し、海浜地形図上より決定した。本研究に利用した実測資料の断面測定期間の間隔は、阿字ヶ浦のものを除いて3~6ヶ月程度のものである。阿字ヶ浦の資料は一週間ごとの測定で、波浪の資料は半日ごとの有義波が測定されている。ここでは一週間内の最大の有義波より平均波高を求め整理した。

以上のことより式(6)は式(8)のように書ける。

$$C(H_o/L_o) \tan\beta = u_b/gT \quad \dots (8)$$

図-2に式(8)による整理の結果を示す。図中破線は、実験値の区分される $C=2$ の直線であるが、現地資料も実験結果と同様に区分された。

以上の結果より、碎波帯内における底質の透過機構が汀線の前進・後退に關係するといえよう。

なお、本研究の一部は、昭和51年度文部省科学研究費総合研究(A)(代表者: 東京大学・堀川清司)による。また、現地資料を提供下された、建設省土木研究所海岸研究室へ諸々に謝意を表します。

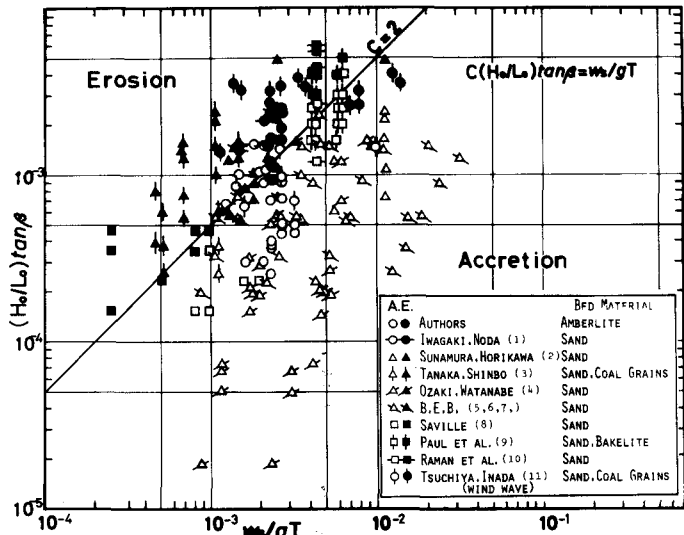


図-1 模型実験結果

- (1): Proc. 8th Conf. Coastal Engi.
- (2): Proc. 14th Conf. Coastal Engi.
- (3): 港湾技術報告書、第12巻、第1号
- (4): 第23回海講論
- (5, 6, 7, 8): B.E.B. Tech. Memo. No. 41, 52, 126.
- (9): Proc. 7th General Meeting. I.A.H.R.
- (10, 11): Proc. 13th Conf. Coastal Engi.
- (11): 第21回海講論.

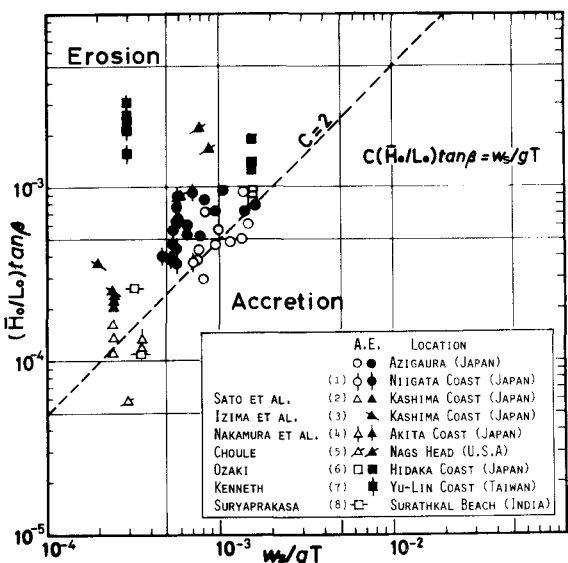


図-2 現地資料

- (1): 第1港湾技術報告書: 断面工事とその臨海工業地帯整備計画資料
- (2): 港湾技術報告書、Vol. 13-No. 4
- (3): 第11海講論
- (4): 第11海講論
- (5): Proc. 11th Conf. Coastal Engi.
- (6): Proc. 9th Conf. Coastal Engi.
- (7): Proc. 12th Conf. Coastal Engi.
- (8): Proc. 12th Conf. Coastal Engi.